

15. Интенсивность соответствующей линии мала и сильно зависит от состояния поляризации света, проходящего через кристалл. Многочленная экситонная серия наблюдается в кристалле  $\text{SnO}_2$ , где прямые дипольные межзонные переходы также запрещены, а линия  $n=1$  разрешена лишь в квадрупольном приближении.

Энергия ионизации  $R_{ex}$  зависит от величины его приведённой эффективной массы  $\mu$  и диэлектрической проницаемости кристалла  $\epsilon$ . Она очень мала для узкозонных полупроводников, напр. для  $\text{InSb}$ , где  $m_s^*=0,0139 m_0$  ( $m_0$  — масса свободного электрона), а  $\epsilon=17,9$ , энергия связи  $E_1 < 0,5 \cdot 10^{-3}$  эВ.

**Влияние примесей на образование В.—М. э.** В кристаллических полупроводниках, содержащих примеси, созда-

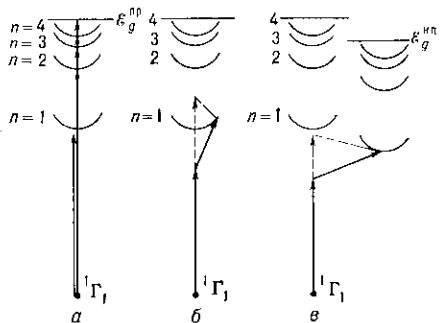


Рис. 2. Оптические переходы кристалла из основного состояния  $\Gamma_1$  в экситонные зоны  $E_g^{\text{пр}}$ ,  $E_g^{\text{nпр}}$  — ширины запрещенных зон для прямых и непрямых переходов. а — Прямые бесфононные переходы, когда возникают экситоны с волновым вектором  $k_{ex}=0$ . Спектр поглощения — водородоподобная серия узких линий поглощения (рис. 1). б — Прямые однофононные переходы, при которых возникают экситоны с  $k_{ex} \neq 0$ ; сплошные линии — переходы с поглощением фона; пунктир — переходы с рождением фона; спектр состоит из ступенек сплошного поглощения. в — Непрямые однофононные переходы в экситонные зоны, расположенные у дна зоны проводимости при  $k \neq 0$ .

ющие мелкие уровни (донарные или акцепторные) при температрах  $T$ , превышающих порог ионизации примесных состояний, свободные носители заряда могут экранировать кулоновское взаимодействие и разрушать

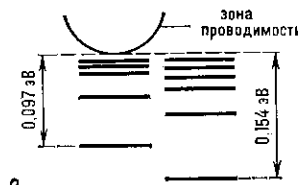
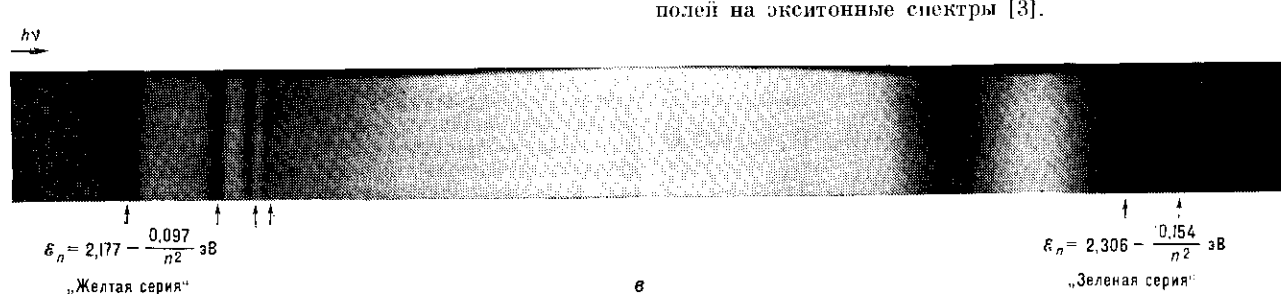


Рис. 3. Схема экситонных уровней (a) и валентных зон (b) в  $\text{Cu}_2\text{O}$ . Экситон с  $R_{ex}=0,097$  эВ образован электроном зоны проводимости и дыркой валентной зоны  $v_1$ , а экситон с  $R_{ex}=0,154$  эВ — электроном зоны проводимости и дыркой валентной зоны  $v_2$ ;  $\Delta$  — величина спин-орбитального расщепления валентной зоны. в — Экситонный спектр поглощения  $\text{Cu}_2\text{O}$  (пластина толщиной 15 мкм), видны 2 серии в жёлтой и зелёной частях спектра.



В.—М. э. При наличии свободных носителей потенциал кулоновского взаимодействия имеет вид:

$$V(r) = \frac{e^2}{er} e^{-r/r_D}, \quad (8)$$

где  $r_D = \epsilon kT / 4\pi e^2 N$  — дебаевский радиус экранирования. Здесь  $N$  — концентрация свободных носителей заряда. Если радиус первого экситонного состояния с  $n=1$   $a_{ex} = h^2 e / \mu c^2$  (боровский радиус В.—М. э.), то условие исчезновения экситонной серии вследствие экранировки:  $a_{ex} > r_D$ . Для В.—М. э. в кристаллах Ge это условие выполняется при концентрации доноров  $\sim 10^{17}$  см<sup>-3</sup> и  $T=77$  К. Т. о., для наблюдения слабосвязанных экситонов в полупроводниках необходимы низкие температуры и чистые кристаллы.

Возбуждённые светом электроны и дырки могут связываться в В.—М. э. вблизи нейтр. или заряж. примеси, в результате чего возникают связанные состояния экситона с примесным центром — примесные экситоны (экситонные комплексы).

**Роль зонной структуры полупроводника.** Узкие линии в экситонном спектре поглощения кристалла наблюдаются при прямых бесфононных оптических переходах, когда рождаются экситоны с  $k_{ex}=0$  (рис. 2, а). При участии фона возможны оптические переходы в точки экситонных зон с  $k_{ex} \neq 0$  (рис. 2, б). В этом случае спектр поглощения В.—М. э. имеет ступенчатый характер. На рис. 2, в показаны оптические переходы с участием фона, идущие в центре Бриллюэна зоны. Сплошное поглощение, связанное с участием фона, наблюдается также, если оптические переходы совершаются в экситонные состояния, расположенные вне центра зоны Бриллюэна (рис. 2, в). Такие непрямые («косые») переходы характерны для кристаллов Si, Ge, GaP, у которых абсолютные минимумы зоны проводимости расположены не в центре зоны Бриллюэна.

В спектрах поглощения и отражения полупроводников может наблюдаться неск. серий линий, обусловленных В.—М. э. Это связано со сложной зонной структурой полупроводников. Например, в кубич. кристаллах валентная зона расщепляется на две подзоны (рис. 3, а). Следствием этого является появление двух В.—М. э., образованных дырками разных валентных подзон (рис. 3, б) и двух серий линий (рис. 3, в). Расстояние между границами этих серий соответствует величине спин-орбитального расщепления. В кристаллах с симметрией ниже кубической валентная зона расщепляется на 3 подзоны. Соответственно в спектрах наблюдаются 3 серии экситонных линий (напр., CdS, CdSe).

Двухчастичное описание (1) описывает упрощённо энергетический спектр В.—М. э. Более строгая теория учитывает, помимо существования подзон лёгких и тяжёлых дырок, вырожденных при  $k=0$  в кубич. полупроводниках, гофрировку валентной зоны в  $k$ -пространстве, анизотропию эффективных масс, симметрию внутрикристаллических полей, а также другие особенности зонной структуры и взаимодействий квазичастич в кристалле. Такая теория (приводящая к громоздким численным расчётам) описывает отклонение положения экситонных уровней от простой водородоподобной зависимости (4), тонкую структуру экситонного спектра, закономерности, наблюдавшиеся при изучении влияния внешних полей на экситонные спектры [3].